



Laboratorium Badań Środowiskowych
ul. Józefa Piusa Dziekońskiego 3
00-728 Warszawa
e-mail: Laboratorium@networks.pl



AB 419

S P R A W O Z D A N I E 7465/2023/OS
Z POMIARÓW PÓL ELEKTROMAGNETYCZNYCH
WYKONANYCH DLA POTRZEB OCHRONY ŚRODOWISKA

Badany obiekt: Instalacja radiokomunikacyjna Orange Polska S.A.

Numer i nazwa: 2636 (32865N!) JASTRUNA (KKA_MYSLOWICE_JASTRUNA)

Adres: MYSŁOWICE, WIELKA SKOTNICA 92C, Powiat m. Mysłowice, WOJ. ŚLĄSKIE

Data wykonania pomiarów: 2023-11-13

Sprawozdanie z badań bez pisemnej zgody laboratorium nie może być powielane inaczej niż w całości.
Wynik przedstawione w niniejszym sprawozdaniu odnoszą się wyłącznie do badanego obiektu i do warunków i konfiguracji urządzeń w dniu wykonywania pomiarów.

1. Właściciel badanego obiektu:

Orange Polska S.A., Al. Jerozolimskie 160, 02-326 Warszawa

2. Zleceniodawca:

Orange Polska S.A., Al. Jerozolimskie 160, 02-326 Warszawa

3. Przedstawiciel zleceniodawcy:

NetWorkS! Sp.z o.o.

4. Zakres zlecenia:

Wykonanie badania i opracowanie sprawozdania z pomiarów natężenia pola elektrycznego i pola magnetycznego dla instalacji radiokomunikacyjnej Orange Polska S.A. zlokalizowanej w miejscowości MYSŁOWICE, WIELKA SKOTNICA 92C.

5. Cel zlecenia:

Wykonanie pomiarów pól elektromagnetycznych w otoczeniu instalacji radiokomunikacyjnej 2636 (32865N!) JASTRUNA (KKA_MYSLOWICE_JASTRUNA) w odniesieniu do wymagań określonych w *Rozporządzeniu Ministra Klimatu z dnia 17 lutego 2020 r. w sprawie sposobów sprawdzania dotrzymania dopuszczalnych poziomów pól elektromagnetycznych w środowisku (Dz.U. 2022 poz. 2630)*.

6. Pomiary zostały wykonane przez:

Podstawek Łukasz
Błanik Mateusz

7. Informacje o źródłach pól elektromagnetycznych

7.1. Sposób identyfikacji badanych źródeł pól elektromagnetycznych

Identyfikacji źródeł i parametrów technicznych dokonano na podstawie analizy dokumentacji dotyczącej zlecenia oraz obserwacji miejsca wykonywania badań.

7.2. Opis miejsca zainstalowania anten i urządzeń technicznych. Opis obiektu badań i jego otoczenia

Instalacja radiokomunikacyjna zlokalizowana jest na dachu. Anteny zawieszono na maszcie usytowanym na dachu budynku. Urządzenia sterujące oraz zasilające zainstalowano w szafie outdoor na dachu budynku. Wokół instalacji znajdują się miasto oraz tereny zielone i zabudowa jednorodzinna i wielorodzinna.

Instalacja radiokomunikacyjna jest obiektem bezobsługowym. Okresowe stanowiska pracy związane są z prowadzonymi w zależności od potrzeb konserwacjami, przeglądami, strojeniem i naprawami.

7.3. Parametry techniczne źródła pola elektromagnetycznego

Dane przedstawiające maksymalne parametry pracy instalacji przekazane przez zleceniodawcę:

Parametry systemu nadawczo-odbiorczego:

Charakterystyka promieniowania		kierunkowa					
Rzeczywisty czas pracy [h/dobę]		24					
Warunki pracy		znamionowe					
Rodzaj wytwarzanego pola		stacjonarne					
Lp.	Częstotliwość lub zakresy częstotliwości pracy [MHz]	Typ/producent anteny	liczba anten	Azymut [°]	kąt pochylenia* [°]	Wysokość środka elektrycznego anteny [m n.p.t]	Równoważna moc promieniowana izotropowo (EIRP) [W]
1	900/1800/2100	ATR4518R13v06 Huawei	1	99	5/5/5	26	18020
2	800/2600	ATR4518R13v06 Huawei	1	99	6/5	26	11773
3	900/1800/2100	ATR4518R13v06 Huawei	1	220	4/6/6	26	18020
4	800/2600	ATR4518R13v06 Huawei	1	220	6/6	26	11773
5	900/1800/2100	ATR4518R13v06 Huawei	1	335	6/6/6	26	18020
6	800/2600	ATR4518R13v06 Huawei	1	335	6/6	26	11773

* wskazane wartości kąta pochylenia anten, zgodnie z informacją uzyskaną od zleceniodawcy, są wartościami stałymi

Transmisja realizowana drogą kablową

7.4. Inne źródła pól elektromagnetycznych

Na podstawie informacji otrzymanych od użytkownika oraz obserwacji otoczenia miejsca wykonywania pomiarów stwierdzono występowanie innych źródeł pola-EM, pracujących w systemie: telefonii komórkowej (800MHz-2600MHz), linii radiowych (5GHz – 90GHz), które istotnie wpływają na wyniki pomiarów.

8. Opis pomiarów

8.1. Metoda badań

Zgodna z rozporządzeniem Ministra Klimatu z dnia 17 lutego 2020 r. w sprawie sposobów sprawdzania dotrzymania dopuszczalnych poziomów pól elektromagnetycznych w środowisku (Dz.U. 2022 poz. 2630), określona w pkt 25 ppkt 1 załącznika do niniejszego rozporządzenia.

8.2. Termin pomiarów i warunki środowiskowe

Podczas wykonywania pomiarów pól elektromagnetycznych nie występowały opady atmosferyczne. Wyniki pomiaru parametrów pogodowych przedstawia poniższa tabela:

Data [rrrr-mm-dd]	Godzina [hh:mm-hh:mm]	Warunki środowiskowe			
		Temperatura [°C]		Wilgotność względna [%]	
2023-11-13	11:20-12:35	Przed pomiarem	Po pomiarach	Przed pomiarem	Po pomiarach
		6.5	6.8	68.5	68.3

Przedstawione wyżej warunki środowiskowe, występujące podczas wykonywania pomiarów pól elektromagnetycznych, są zgodne ze specyfikacją techniczną użytego zestawu pomiarowego.

8.3. Warunki pracy urządzeń nadawczych

Podczas pomiarów w przypadku uzyskania wyniku pomiaru szerokopasmowego wykonanego zastosowaną metodą, dla zakresów częstotliwości od 10 MHz do 300 GHz, powiększonego o rozszerzoną niepewność pomiaru U dla współczynnika rozszerzenia $k = 2$ przekraczającego 70% najniższej dopuszczalnej wartości składowej elektrycznej lub magnetycznej pola dla objętych pomiarami zakresów częstotliwości, uwzględnia się poprawki pomiarowe przekazane przez zleceniodawcę, umożliwiające uwzględnienie maksymalnych parametrów pracy instalacji

Sprawozdanie z badań bez pisemnej zgody laboratorium nie może być powielane inaczej niż w całości.
Wynik przedstawione w niniejszym sprawozdaniu odnoszą się wyłącznie do badanego obiektu i do warunków i konfiguracji urządzeń w dniu wykonywania pomiarów.

zgodnie z pkt 7 załącznika do Rozporządzeniem Ministra Klimatu z dnia 17 lutego 2020 r. w sprawie sposobów sprawdzania dotrzymania dopuszczalnych poziomów pól elektromagnetycznych w środowisku (Dz. U. 2022, poz. 2630) zaznaczając, że wymagane jest wykonanie pomiaru z wykorzystaniem miernika selektywnego. W przypadku uzyskania wyniku pomiaru szerokopasmowego wykonanego zastosowaną metodą, dla zakresów częstotliwości od 10 MHz do 300 GHz, powiększonego o rozszerzoną niepewność pomiaru U dla współczynnika rozszerzenia $k = 2$ nieprzekraczającego 70% najniższej dopuszczalnej wartości składowej elektrycznej lub magnetycznej pola dla objętych pomiarami zakresów częstotliwości, nie uwzględnia się poprawek pomiarowych.

8.4. Wyposażenie pomiarowe

Zestaw pomiarowy służący do pomiaru natężenia składowej elektrycznej pola elektromagnetycznego złożony z szerokopasmowego miernika i sondy pomiarowej:

Oznaczenie miernika	Producent	Model	Numer fabryczny	Oznaczenie sondy	Producent	Model	Numer fabryczny
MW-03	Wavecontrol	Miernik pól elektromagnetycznych SMP2	22SN1954	SW-05	Wavecontrol	Sonda WPF60	22WP230194

Mierniki natężenia pola elektromagnetycznego podlegają okresowemu sprawdzeniu zgodnie z procedurą wewnętrzną P-03 i PB-01. Świadczenie wzorcowania zestawu pomiarowego z dnia 25 lipca 2023 o numerze LWiMP/W/287/23 wydane przez Politechnikę Wrocławską.

Data ważności świadectwa wzorcowania: 25 lipca 2025 (zgodnie z procedurą wewnętrzną P-03).

Termohigrometr:

Oznaczenie:	TH-23	Producent:	AZ INSTRUMENT CORP	Model:	Termohigrometr AZ8706
-------------	-------	------------	--------------------	--------	-----------------------

Data ważności świadectwa wzorcowania: 12 lipca 2025 (zgodnie z procedurą wewnętrzną P-03).

Dalmierz:

Oznaczenie	Producent	Typ	Numer seryjny	Nr świadectwa wzorcowania	Data świadectwa wzorcowania
D-06	Leica	Dalmierz Leica Disto X310	842350228	1146.2-M11-4180-396/15	8 kwietnia 2015

Data ważności świadectwa wzorcowania: 8 kwietnia 2025 (zgodnie z procedurą wewnętrzną P-03).

Odbiornik GNSS:

Odbiornik GNSS wbudowany w miernik natężenia pola elektromagnetycznego użyty podczas pomiarów	Producent	Model
	UBlox	MAX-M8Q

Odbiorniki podlegają okresowemu sprawdzeniu zgodnie z procedurą wewnętrzną P-03.

9. Wyniki pomiarów

Pole elektryczne

Nr pionu	Opis umiejscowienia pionu (punktu) pomiarowego	Wysokość pomiaru [m]	Zmierzona wartość natężenia pola elektrycznego E [V/m] ^{1,5}	Wartość natężenia pola elektrycznego powiększona o niepewność pomiaru ⁴ E [V/m]	Wskaźnikowa wartość poziomu emisji pól elektromagnetycznych WME^3	Współrzędne geograficzne pionu (punktu) pomiarowego ²
1	DPP - w płaszczyźnie otworu okiennego mieszkania 10, piętro 4, ul. Wielka Skotnica	0.3-2.0	<1.0*	1.5	0.05	50°14'29.4" 19°6'52.6"
2	DPP - Przed wejściem do mieszkania nr 10 - brak lokatora w mieszkaniach 4-10	0.3-2.0	<1.0*	1.5	0.05	50°14'29.8" 19°6'51.8"
3	DPP - w płaszczyźnie otworu okiennego mieszkania 8, piętro 3, ul. Wielka Skotnica 92B	2.0	3.1	4.7	0.17	50°14'28.7" 19°6'52.2"

Sprawozdanie z badań bez pisemnej zgody laboratorium nie może być powielane inaczej niż w całości. Wynik przedstawione w niniejszym sprawozdaniu odnoszą się wyłącznie do badanego obiektu i do warunków i konfiguracji urządzeń w dniu wykonywania pomiarów.

4	DPP - w płaszczyźnie otworu okiennego klatki schodowej, piętro 4, ul. Wielka Skotnica 92A	0.3-2.0	<1.0*	1.5	0.05	50°14'28.0" 19°6'51.5"
5	DPP - w płaszczyźnie otworu okiennego mieszkania 7, piętro 3, ul. Wielka Skotnica 90D	2.0	2.5	3.8	0.14	50°14'29.0" 19°6'53.6"
6	DPP - w płaszczyźnie otworu okiennego mieszkania 9, piętro 4, ul. Wielka Skotnica 94	2.0	1.8	2.7	0.1	50°14'30.5" 19°6'51.5"
7	DPP - w płaszczyźnie otworu okiennego klatki schodowej, piętro 4, ul. Wielka Skotnica 94A	0.3-2.0	<1.0*	1.5	0.05	50°14'31.2" 19°6'50.8"
8	DPP - Przed wejściem do mieszkania nr 10 - brak odpowiedzi z dzwonka w mieszkaniach 4-10	0.3-2.0	<1.0*	1.5	0.05	50°14'31.6" 19°6'50.0"
9	DPP - w uchylonym oknie klatki schodowej, piętro 4, ul. Wielka Skotnica 92C	0.3-2.0	<1.0*	1.5	0.05	50°14'29.4" 19°6'52.2"
10	GKP w odległości 8m od anteny sektorowej az. 335°	0.3-2.0	<1.0*	1.5	0.05	50°14'29.8" 19°6'52.2"
11	GKP w odległości 39m od anteny sektorowej az. 335°	2.0	1.4	2.1	0.08	50°14'30.5" 19°6'51.8"
12	GKP w odległości 95m od anteny sektorowej az. 335°	0.3-2.0	<1.0*	1.5	0.05	50°14'32.3" 19°6'50.4"
13	GKP w odległości 6m od anteny sektorowej az. 99°	0.3-2.0	<1.0*	1.5	0.05	50°14'29.4" 19°6'52.9"
14	GKP w odległości 45m od anteny sektorowej az. 99°	2.0	2.1	3.2	0.11	50°14'29.0" 19°6'54.7"
15	GKP w odległości 94m od anteny sektorowej az. 99°	2.0	1.6	2.4	0.09	50°14'29.0" 19°6'57.2"
16	GKP w odległości 8m od anteny sektorowej az. 220°	0.3-2.0	<1.0*	1.5	0.05	50°14'29.0" 19°6'52.2"
17	GKP w odległości 45m od anteny sektorowej az. 220°	0.3-2.0	<1.0*	1.5	0.05	50°14'28.3" 19°6'51.1"
18	GKP w odległości 94m od anteny sektorowej az. 220°	2.0	1.3	2	0.07	50°14'26.9" 19°6'49.3"
19	PKP na az. 57° w odległości 49m od anteny sektorowej az. 99°	2.0	1.6	2.4	0.09	50°14'30.1" 19°6'54.7"
20	PKP na az. 6° w odległości 54m od anteny sektorowej az. 99°	2.0	1.4	2.1	0.08	50°14'31.2" 19°6'52.9"
21	PKP na az. 177° w odległości 49m od anteny sektorowej az. 99°	2.0	1.3	2	0.07	50°14'27.6" 19°6'52.6"
22	PKP na az. 248° w odległości 53m od anteny sektorowej az. 220°	0.3-2.0	<1.0*	1.5	0.05	50°14'28.7" 19°6'50.0"
23	PKP na az. 294° w odległości 55m od anteny sektorowej az. 335°	0.3-2.0	<1.0*	1.5	0.05	50°14'30.1" 19°6'50.0"
-	GKP w odległości 160m od anteny sektorowej az. 335°	0.3-2.0	<1.0*	1.5	0.05	50°14'34.1" 19°6'49.0"
-	GKP w odległości 158m od anteny sektorowej az. 99°	0.3-2.0	<1.0*	1.5	0.05	50°14'28.7" 19°7'0.5"
-	GKP w odległości 199m od anteny sektorowej az. 220°	0.3-2.0	<1.0*	1.5	0.05	50°14'24.4" 19°6'46.1"

Pole magnetyczne (wyznaczone na podstawie pomiaru wartości natężenia pola elektrycznego)

Nr pionu	Opis umiejscowienia pionu (punktu) pomiarowego	Wysokość pomiaru [m]	Wartość natężenia pola magnetycznego H [A/m] ¹	Wartość natężenia pola magnetycznego powiększona o niepewność pomiaru ⁴ H [A/m]	Wskaźnikowa wartość poziomu emisji pól elektromagnetycznych WM _H ³	Współrzędne geograficzne pionu (punktu) pomiarowego ²
1	DPP - w płaszczyźnie otworu okiennego mieszkania 10, piętro 4, ul. Wielka Skotnica	0.3-2.0	<0.003*	0.004	0.06	50°14'29.4" 19°6'52.6"
2	DPP - Przed wejściem do mieszkania nr 10 - brak lokatora w mieszkaniach 4-10	0.3-2.0	<0.003*	0.004	0.06	50°14'29.8" 19°6'51.8"
3	DPP - w płaszczyźnie otworu okiennego mieszkania 8, piętro 3, ul. Wielka Skotnica 92B	2.0	0.008	0.013	0.17	50°14'28.7" 19°6'52.2"

Sprawozdanie z badań bez pisemnej zgody laboratorium nie może być powielane inaczej niż w całości.
Wynik przedstawione w niniejszym sprawozdaniu odnoszą się wyłącznie do badanego obiektu i do warunków i konfiguracji urządzeń w dniu wykonywania pomiarów.

4	DPP - w płaszczyźnie otworu okiennego klatki schodowej, piętro 4, ul. Wielka Skotnica 92A	0.3-2.0	<0.003*	0.004	0.06	50°14'28.0" 19°6'51.5"
5	DPP - w płaszczyźnie otworu okiennego mieszkania 7, piętro 3, ul. Wielka Skotnica 90D	2.0	0.007	0.01	0.14	50°14'29.0" 19°6'53.6"
6	DPP - w płaszczyźnie otworu okiennego mieszkania 9, piętro 4, ul. Wielka Skotnica 94	2.0	0.005	0.007	0.1	50°14'30.5" 19°6'51.5"
7	DPP - w płaszczyźnie otworu okiennego klatki schodowej, piętro 4, ul. Wielka Skotnica 94A	0.3-2.0	<0.003*	0.004	0.06	50°14'31.2" 19°6'50.8"
8	DPP - Przed wejściem do mieszkania nr 10 - brak odpowiedzi z dzwonka w mieszkaniach 4-10	0.3-2.0	<0.003*	0.004	0.06	50°14'31.6" 19°6'50.0"
9	DPP - w uchylonym oknie klatki schodowej, piętro 4, ul. Wielka Skotnica 92C	0.3-2.0	<0.003*	0.004	0.06	50°14'29.4" 19°6'52.2"
10	GKP w odległości 8m od anteny sektorowej az. 335°	0.3-2.0	<0.003*	0.004	0.06	50°14'29.8" 19°6'52.2"
11	GKP w odległości 39m od anteny sektorowej az. 335°	2.0	0.004	0.006	0.08	50°14'30.5" 19°6'51.8"
12	GKP w odległości 95m od anteny sektorowej az. 335°	0.3-2.0	<0.003*	0.004	0.06	50°14'32.3" 19°6'50.4"
13	GKP w odległości 6m od anteny sektorowej az. 99°	0.3-2.0	<0.003*	0.004	0.06	50°14'29.4" 19°6'52.9"
14	GKP w odległości 45m od anteny sektorowej az. 99°	2.0	0.006	0.008	0.12	50°14'29.0" 19°6'54.7"
15	GKP w odległości 94m od anteny sektorowej az. 99°	2.0	0.004	0.006	0.09	50°14'29.0" 19°6'57.2"
16	GKP w odległości 8m od anteny sektorowej az. 220°	0.3-2.0	<0.003*	0.004	0.06	50°14'29.0" 19°6'52.2"
17	GKP w odległości 45m od anteny sektorowej az. 220°	0.3-2.0	<0.003*	0.004	0.06	50°14'28.3" 19°6'51.1"
18	GKP w odległości 94m od anteny sektorowej az. 220°	2.0	0.003	0.005	0.07	50°14'26.9" 19°6'49.3"
19	PKP na az. 57° w odległości 49m od anteny sektorowej az. 99°	2.0	0.004	0.006	0.09	50°14'30.1" 19°6'54.7"
20	PKP na az. 6° w odległości 54m od anteny sektorowej az. 99°	2.0	0.004	0.006	0.08	50°14'31.2" 19°6'52.9"
21	PKP na az. 177° w odległości 49m od anteny sektorowej az. 99°	2.0	0.003	0.005	0.07	50°14'27.6" 19°6'52.6"
22	PKP na az. 248° w odległości 53m od anteny sektorowej az. 220°	0.3-2.0	<0.003*	0.004	0.06	50°14'28.7" 19°6'50.0"
23	PKP na az. 294° w odległości 55m od anteny sektorowej az. 335°	0.3-2.0	<0.003*	0.004	0.06	50°14'30.1" 19°6'50.0"
-	GKP w odległości 160m od anteny sektorowej az. 335°	0.3-2.0	<0.003*	0.004	0.06	50°14'34.1" 19°6'49.0"
-	GKP w odległości 158m od anteny sektorowej az. 99°	0.3-2.0	<0.003*	0.004	0.06	50°14'28.7" 19°7'0.5"
-	GKP w odległości 199m od anteny sektorowej az. 220°	0.3-2.0	<0.003*	0.004	0.06	50°14'24.4" 19°6'46.1"

GKP – Główny Kierunek Pomiarowy

DPP – Dodatkowy Pion Pomiarowy

PKP – Pomocniczy Kierunek Pomiarowy

¹ wyniki oznaczone * są wynikami poniżej czułości zestawu pomiarowego i są wynikami spoza zakresu akredytacji. Do obliczenia wyniku skorygowanego przyjęto wartość skorelowaną z rzeczywistym wynikiem pomiaru - dolną granicę akredytowanego zakresu pomiarowego metody

² współrzędne geograficzne pozyskane metodą pomiaru bezpośredniego

³ do wyznaczenia wartości wskaźnikowej W_{M_E} i W_{M_H} przyjęto na podstawie uzgodnień z klientem oraz rozpoznania źródeł, jako wartości dopuszczalne pola elektrycznego i magnetycznego odpowiednio 28 V/m i 0,073 A/m.

⁴ do wyznaczenia niepewności dla wyników poniżej czułości zestawu pomiarowego, przyjęto niepewność dla minimalnej wartości z zakresu pomiarowego.

⁵ maksymalna wartość chwilowa

Niepewność oszacowano zgodnie z dokumentem P-03 „Procedura nadzoru nad wyposażeniem” w postaci niepewności rozszerzonej wynikającej z niepewności standardowej pomnożonej przez współczynnik rozszerzenia $k=2$.

Całkowita szacowana niepewność rozszerzona składowej E wynosi odpowiednio: 52.3% dla częstotliwości do 40 GHz

Umiejscowienie pionów (punktów) pomiarowych przedstawiono w załączniku nr 2 do niniejszego sprawozdania.

Sprawozdanie z badań bez pisemnej zgody laboratorium nie może być powielane inaczej niż w całości.
Wynik przedstawione w niniejszym sprawozdaniu odnoszą się wyłącznie do badanego obiektu i do warunków i konfiguracji urządzeń w dniu wykonywania pomiarów.

10. Omówienie wyników pomiarów

W związku z tym, że żadna z wartości zmierzonych, udokumentowanych w tabelach w pkt. 9, uzyskanych w skutek zastosowania pomiaru szerokopasmowego, powiększonego o rozszerzoną niepewność pomiaru U dla współczynnika rozszerzenia $k = 2$ nie przekroczyła 70% najniższej dopuszczalnej wartości składowej elektrycznej lub magnetycznej pola dla objętych pomiarami zakresów częstotliwości, nie uwzględnia się poprawek pomiarowych.

W wyniku zastosowania sposobu sprawdzenia dotrzymania dopuszczalnych poziomów pól elektromagnetycznych w środowisku, zgodnie pkt 25 ppkt 1 Rozporządzenia Ministra Klimatu z dnia 17 lutego 2020 r. (Dz. U. 2022, poz. 2630), w związku z tym, że żadna z wartości wskaźnikowych, udokumentowanych w tabelach w pkt. 9 nie przekracza wartości 1, stwierdza się, że w miejscach, w których wykonano pomiary w otoczeniu instalacji radiokomunikacyjnej 2636 (32865N!) JASTRUNA (KKA_MYSLOWICE_JASTRUNA), dopuszczalne poziomy pól elektromagnetycznych w środowisku należy uznać za dotrzymane.

Miejsca niedostępne podczas wykonywania pomiarów wskazane zostały w pkt. 9 (Wyniki pomiarów) lub na załączniku przedstawiającym usytuowanie pionów pomiarowych.

11. Podstawa prawna

- 1) Ustawa z dnia 27 kwietnia 2001 r. Prawo ochrony środowiska (Dz.U. 2022 poz. 2556)
- 2) Rozporządzenie Ministra Zdrowia z dnia 17 grudnia 2019 r. w sprawie dopuszczalnych poziomów pól elektromagnetycznych w środowisku (Dz. U. 2019, poz. 2448)
- 3) Rozporządzenie Ministra Klimatu z dnia 17 lutego 2020 r. w sprawie sposobów sprawdzania dotrzymania dopuszczalnych poziomów pól elektromagnetycznych w środowisku (Dz. U. 2022, poz. 2630),
- 4) Akredytacja nr AB 419 wydana przez Polskie Centrum Akredytacji (wydanie 21, z dnia 11 kwietnia 2023 r.)

12. Spis załączników

- Załącznik 1. Lokalizacja obiektu badań
- Załącznik 2. Usytuowanie pionów (punktów) pomiarowych
- Załącznik 3. Dokumentacja fotograficzna obiektu badań

13. Data wydania i autoryzowania sprawozdania

Obliczenia i sprawozdanie wykonał :



Signed by /
Podpisano przez:

Anna Kacperska

Date / Data:
2023-11-14
13:20

Sprawozdanie autoryzował:



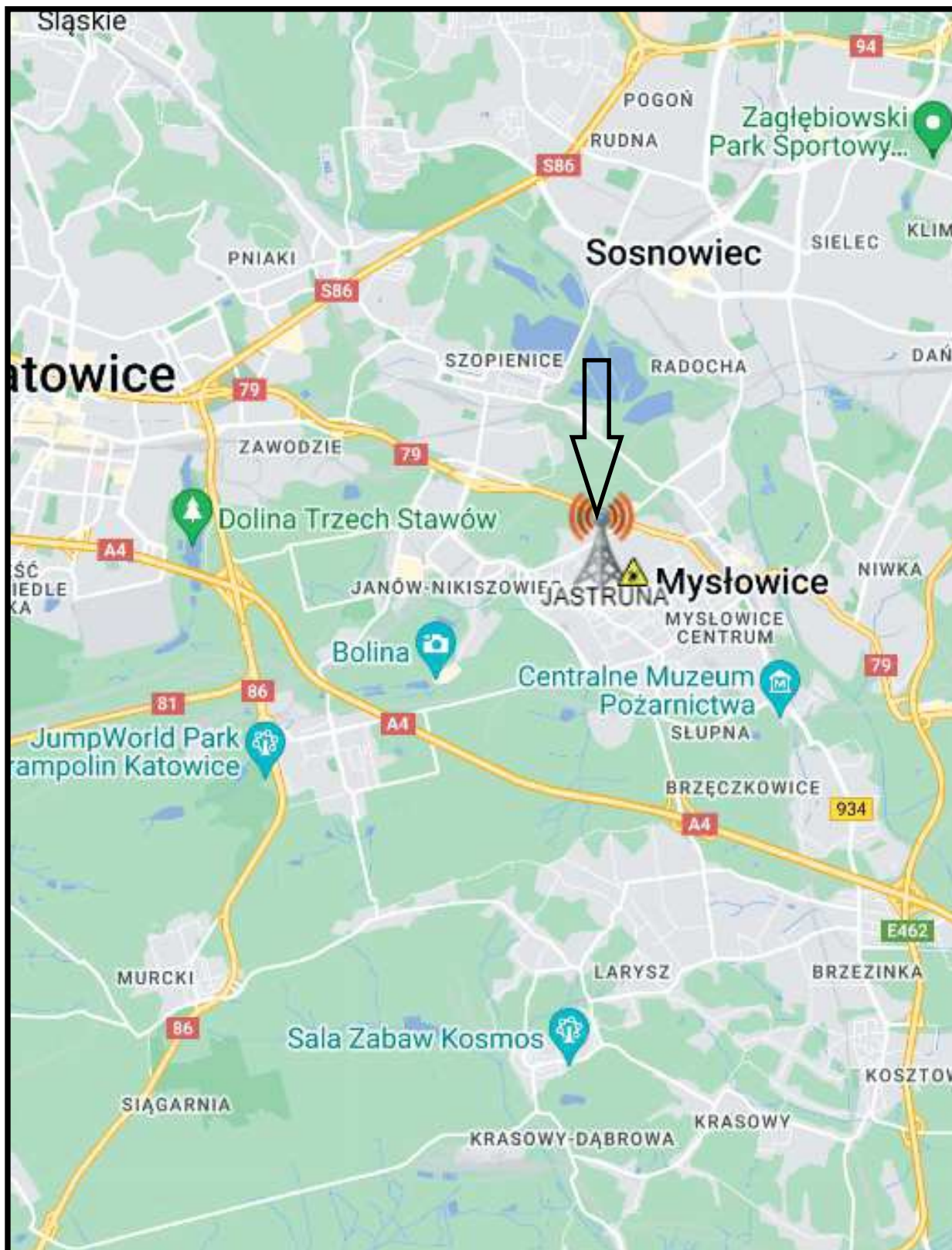
Signed by /
Podpisano przez:

Agnieszka
Wachowicz

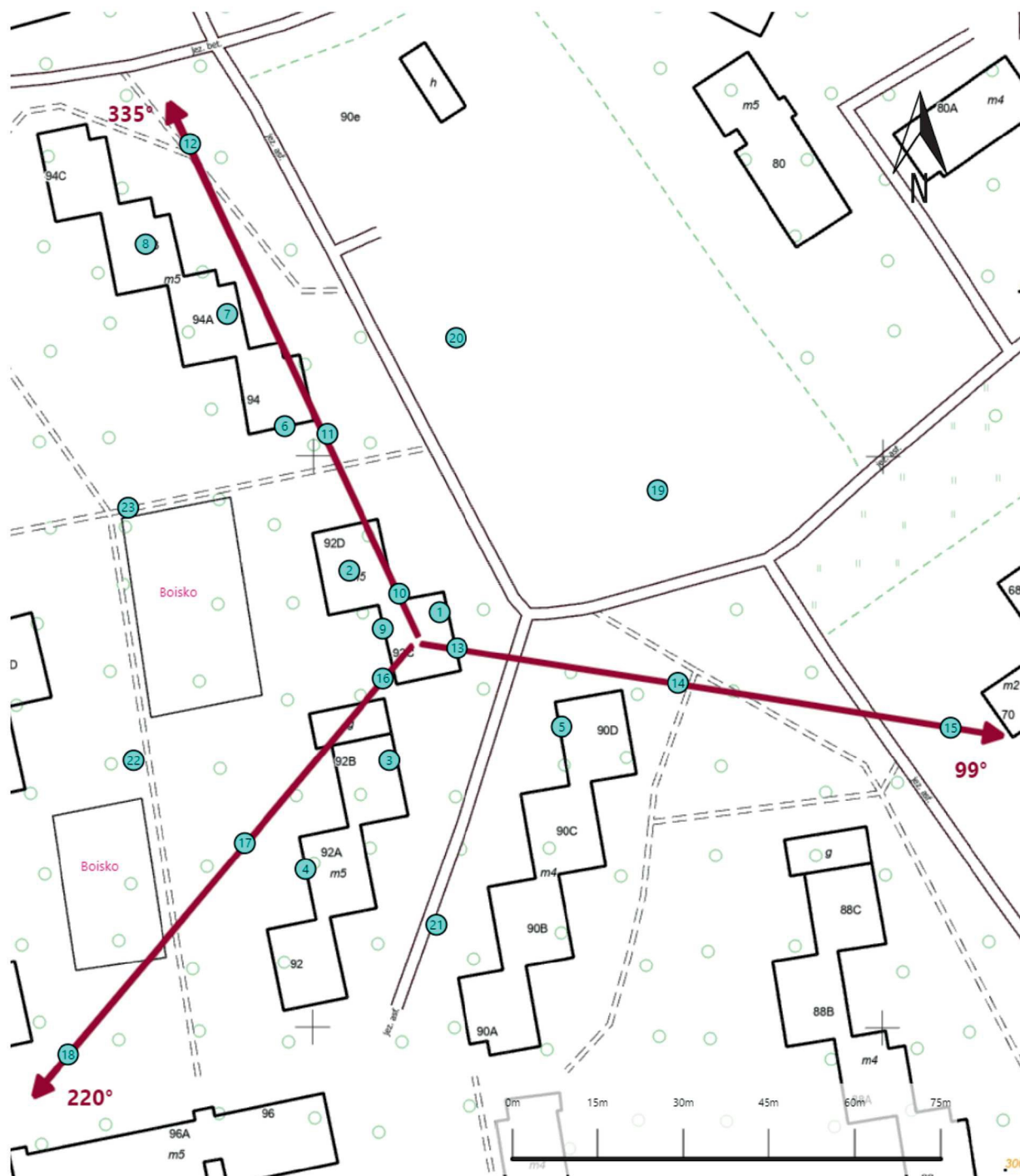
Date / Data:
2023-11-15 15:21

Koniec sprawozdania

Sprawozdanie z badań bez pisemnej zgody laboratorium nie może być powielane inaczej niż w całości.
Wynik przedstawione w niniejszym sprawozdaniu odnoszą się wyłącznie do badanego obiektu i do warunków i konfiguracji urządzeń w dniu wykonywania pomiarów.



Załącznik nr 1	INSTALACJA RADIOKOMUNIKACYJNA Orange Polska S.A. 2636 (32865N!) JASTRUNA (KKA_MYSLOWICE_JASTRUNA) Lokalizacja instalacji radiokomunikacyjnej
-----------------------	--



Załącznik nr 2	<p style="text-align: center;">Instalacja radiokomunikacyjna Orange Polska S.A. KKA_MYSLOWICE_JASTRUNA (32865N!) Usytuowanie pionów pomiarowych w otoczeniu instalacji radiokomunikacyjnej</p>								
	<p>Legenda:</p> <table style="width: 100%; text-align: center;"> <tr> <td data-bbox="571 2029 603 2069"></td> <td data-bbox="794 2029 826 2069"></td> <td data-bbox="978 2029 1121 2069"></td> <td data-bbox="1209 2029 1353 2069"></td> </tr> <tr> <td data-bbox="523 2069 643 2092">Brak dostępu</td> <td data-bbox="746 2069 882 2092">Pion pomiarowy</td> <td data-bbox="962 2069 1137 2114">Kierunek oddziaływania anten sektorowych</td> <td data-bbox="1193 2069 1361 2114">Kierunek oddziaływania anten radioliniowych</td> </tr> </table>					Brak dostępu	Pion pomiarowy	Kierunek oddziaływania anten sektorowych	Kierunek oddziaływania anten radioliniowych
Brak dostępu	Pion pomiarowy	Kierunek oddziaływania anten sektorowych	Kierunek oddziaływania anten radioliniowych						



Załącznik nr 3

INSTALACJA RADIOKOMUNIKACYJNA Orange Polska S.A. 2636 (32865N!) JASTRUNA (KKA_MYSLOWICE_JASTRUNA)
Zdjęcia instalacji radiokomunikacyjnej